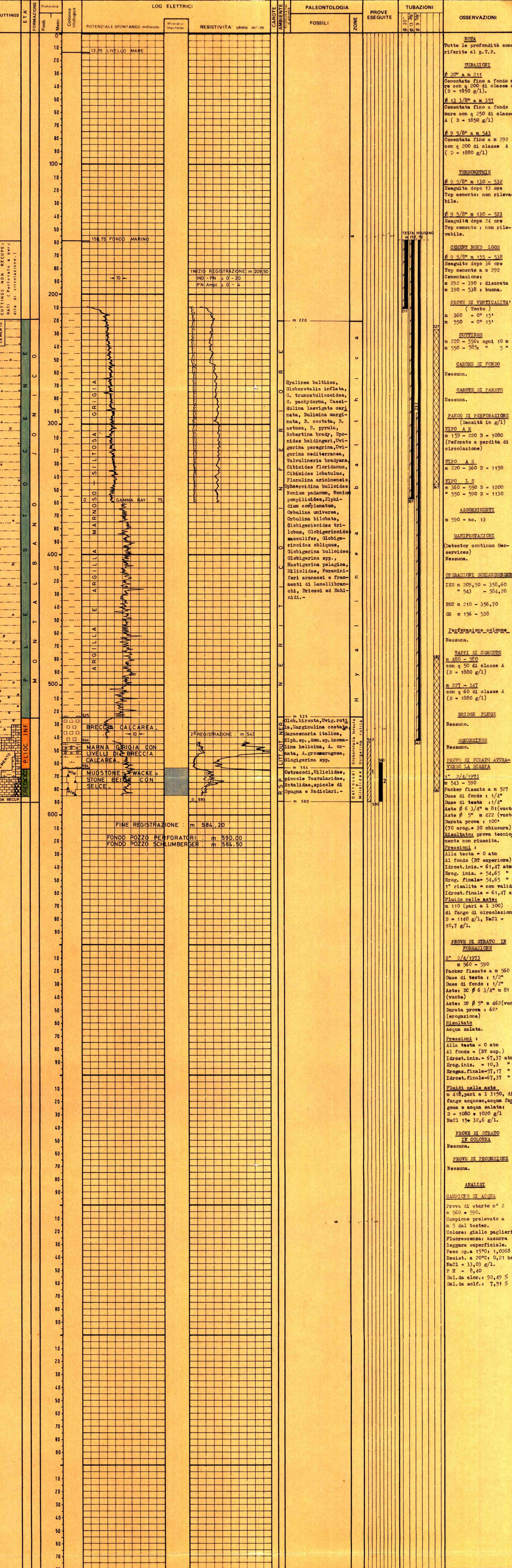


ROCCHE TERRIGENE	ROCCHE CARBONATICHE	ROCCHE IGNEE E METAMORFICHE	STRUTTURE SEDIMENTARIE E DIAGENETICHE	MINERALIZZAZIONE	MANIFESTAZIONI DURANTE LA PERFORAZIONE
Elementi di breccia Ciottoli Sabbia grossolana Sabbia fine Sabbia quarzosa Sabbia sabbilica Sabbia litica Sabbia sabbidispatica Sabbia feldspatica Silt Argilla Marna	Calcarea in generale Mudstone Packstone Wackestone Grainstone Boundstone Chalk Calcarea dolomitico Dolomia calcarea Dolomia in generale Dolomia media e grossa (> 62 μ) Dolomia fine (< 62 μ)	Rocce intrusive Rocce effusive Rocce filoniane Rocce piroclastiche Rocce metamorfiche	Stratificazione massiccia Stratificazione decimetrica Laminazioni parallele Stratificazione incrociata Stratificazione gradata Strutture nodulari Stromatoliti Bioturbazioni Stratificazione disturbata Laminazioni convolute Ripple marks Fessure di asseccazione Pressure solution Strutture geopete Birdseyes	Acqua dolce Acqua salmastra Acqua salata Tracce di gas Gas Tracce di olio Olio	Tubi cementati Tubi forati con facile Tubi "presa" Aste di perforazione "presa" Tappi di cemento Squeezing Bridge Plug Foro deviato Prova di tester riuscita Prova di tester non riuscita Tubing con packer di produzione Pompa
CEMENTI	ALTRE ROCCE	PARTICELLE E FOSSILI	TIPI DI POROSITA'	SIMBOLI VARI	
Cemento in generale Cemento siliceo Cemento carbonatico Cemento calcitico Cemento dolomitico Cemento solfatico Cemento ferruginoso Cemento sideritico	Gesso o anidrite Sali di Na, K, Mg Carbone in generale Selce Rocce ferruginose	Intraclasti angolosi in generale Intraclasti arrotondati in generale Pelletoidi Golliti Dicoliti Macrofossili in generale Alghie Briozoi Coralli Crinoidi Lamellibranchi Rudiste Macroforaminiferi Microforaminiferi in generale Foraminiferi planctonici Foraminiferi bentonici Frammenti di fossili Rudiste in frammenti Radiolari Spicole di Spongia Ostracodi	PK Porosità chalk PI Porosità intergranulare PV Porosità yacuolare PC Porosità intercostallina PF Porosità per fratture	Assorbimenti Perdite di circolazione Carote di fondo con parte recuperata e perduta Carote di parete F.I.T. Contatto tettonico Discontinuità in generale Fratture Lucioni	Tracce di gas Gas Tracce di olio Olio Bitume Acqua salata Acqua dolce Gas ed acqua salata Tracce di gas e di olio

Impianto SAIPEM 2-N 1625 Inizio perforazione 7-3-1973 Este del pozzo STERILE Tavola Rotary m. 13,75  
 Profondità totale m. 590 Fine perforazione 1-4-1973 Intervallo produttivo Testa Housing m. 143,95  
 Impianto rilasciato il 4-4-1973 Inizio produzione Fondo mare m. 145,00



**ANNOTAZIONI**  
**GEOLOGICHE**  
 Vedi: Dr. E. Bastianini - P.M. E. Montis "Pozzo LIETA 1 - Relazione finale"  
 Chieti, Maggio 1973

**MINERARIE**  
 Essendo risultato sterile il pozzo è stato abbandonato previa chiusura mineraria con tappi di cemento.

**TECNICHE**  
 Dal 14/3/1973 al 29/3/1973 la perforazione è stata sospesa per permettere la riparazione dei comandi dello Stack ROP.

VISTO: